

# اندرکنش سد و مخزن در دامنه زمان به وسیله روش انتگرال حلقوی منفرد (DSC) مجزا<sup>۱</sup>

کیانوش کریمی<sup>۲\*</sup> و رضا عطار نژاد<sup>۲\*</sup>

<sup>۱</sup>دانش آموخته کارشناسی ارشد مهندسی عمران - پردیس دانشکده های فنی - دانشگاه تهران

<sup>۲</sup>دانشیار دانشکده مهندسی عمران - پردیس دانشکده های فنی - دانشگاه تهران

(تاریخ دریافت ۸۵/۱۱/۲۵، تاریخ دریافت روایت اصلاح شده ۸۶/۱۲/۸، تاریخ تصویب ۸۷/۱۲/۲۰)

## چکیده

در این مقاله تحلیل دینامیکی از نوع تاریخچه زمانی یک سد با ضخامت ثابت و مخزن نیمه بی نهایت، با یک روش عددی نوین به نام انتگرال حلقوی منفرد مجزا(DSC)، موردن بررسی قرار می گیرد. با توجه به حیاتی بودن مسئله طراحی سد، یافتن یک روش عددی کار، سریع و دقیق که قابلیت مدل سازی شرائط مزدی پیچیده را داشته باشد، ضروری به نظر می رسد. بدین منظور روش انتگرال حلقوی منفرد مجزا در این مقاله نخستین بار برای تحلیل مسئله اندرکنش سد و مخزن به کار گرفته شده است. در ابتدای مقاله روش مذکور به صورت اجمالی معرفی شده و نحوه اعمال شرائط مزدی در آن، تشریح می گردد. سپس معادله حرکت اندرکنش سازه سد (یک تیر اویلر - برنولی طریق ای) با مخزن نیمه بی نهایت در حالت پر و تحت زلزله ال سنترو، به وسیله روش DSC و با به کارگیری هسته دلتای شانون تنظیم شده، مدل سازی شده و با نتایج حاصل از روش Lee & Tsai<sup>۳</sup> می شود. در نهایت نشان داده می شود که روش DSC با سایر روش های عددی از نظر دقت و پایداری قابل رقابت می باشد.

**واژه های کلیدی:** اندرکنش سد و مخزن - تحلیل در حوزه زمان - انتگرال حلقوی منفرد مجزا - هسته دلتای شانون

## مقدمه

موجود برای حل آن دسته از مسائلی است که نیاز به پیش بینی فرآکنس های بالای ارتعاش دارند<sup>[۴]</sup>. ساختار ریاضی روش DSC، تئوری تحلیل موجک<sup>[۵]</sup> و تئوری پخش<sup>[۶]</sup> می باشد. با انتخاب مناسب پارامترهای به کار رفته در هسته DSC، این روش دقت قابل کنترلی را برای مسئله ایجاد نموده و انعطاف پذیری چشمگیری در مدل سازی هندسه های پیچیده و شرایط مزدی به دست می دهد. انواع مختلف هسته های دلتا از جمله هسته دلتای شانون و دیریکله در روش DSC مورد استفاده قرار می گیرند<sup>[۱]</sup>. قبل از به کارگیری روش DSC در مسئله مورد نظر، ابتدا توضیحاتی در مورد سایر روش های محاسبه فشار هیدرودینامیک و تحلیل اندرکنش سد و مخزن ارائه می شود.

توزیع فشار هیدرورینامیک بر روی سدهای صلب اولین بار توسط وسترگارد در سال ۱۹۳۳ انجام گرفت<sup>[۷]</sup>. Chopra در سال ۱۹۶۷ یک راه حل تحلیلی برای فشار هیدرودینامیک برای یک سد در حالت صلب و به صورت قائم ارائه نمود<sup>[۸]</sup>. در سال ۱۹۷۸ فرمولاسیون فشار

با توجه به اهمیت چشم گیر مسئله اندرکنش سد و مخزن، یافتن یک روش محاسباتی برتر که با مشخصات فیزیکی مسئله تطابق کافی داشته، فرض های ساده کننده در آن کمتر بوده و سرعت و دقت مناسبی داشته باشد، امری ضروری است. به منظور نیل به این هدف در این مقاله روش جدیدی تحت عنوان انتگرال حلقوی منفرد مجزا<sup>[۱]</sup> به منظور مدل سازی مسئله اندرکنش معرفی می گردد. الگوریتم انتگرال حلقوی منفرد مجزا، به عنوان یک روش برای حل عددی مسائل تکینه شکل گرفته است. به طور کلی این روش علاوه بر این که راه حل متفاوتی را برای سایر مسائل ارائه می دهد، قادر است برای حل معادلات دیفرانسیل با مشتقهای جزئی به عنوان یک الگوی برتر و مفید مورد استفاده قرار گیرد. در حال حاضر روش DSC، در تعدادی از مسائل علمی و مهندسی به کار گرفته شده است که از آن جمله می توان به مسائل کوانتموم<sup>[۱]</sup>، مسائل فیزیک کلاسیک<sup>[۲]</sup>، شبیه سازی جریان سیالات در دامنه های ساده و پیچیده<sup>[۳]</sup>، اشاره نمود. در تحلیل سازه ها، روش DSC تنها الگوریتم عددی

$$\frac{\partial^2}{\partial z^2} \left( EI \frac{\partial^2 u}{\partial z^2} \right) + m \frac{\partial^2 u}{\partial t^2} = -m \ddot{u}_g - P(0, z, t) \quad (1)$$

که در آن،  $E$  مدول الاستیسیتیه سد،  $I$  ممان اینرسی مقطع عرضی تیر نسبت به محوری که تیر حول آن دوران می‌کند (محور  $y$ ها)،  $m$  جرم واحد طول تیر،  $u$  تغییر مکان های سازه نسبت به تکیه گاه زمین،  $\ddot{u}$  شتاب های زلزله که در راستای محور  $x$  بر سازه اعمال می‌شود و  $P$  فشار هیدرودینامیک (مازاد بر فشار هیدرواستاتیک) می‌باشد. در رابطه مذکور  $m$  و  $EI$  را می‌توان نسبت به  $z$  متغیر و پاسخ سازه به تأثیر نیروهای سیال و زلزله را به صورت ترکیب خطی از اشکال مودی  $(Z)$  و تابع کلی زمان  $(t)$   $Y_n(t)$  فرض نمود. بنابراین خواهیم داشت:

$$u(z, t) = \sum_{n=1}^N \phi_n(z) Y_n(t) \quad (2)$$

که در آن  $\phi$  شکل مود ارتعاش و  $Y$  مختصه کلی است. در این صورت معادله (1) به صورت زیر نوشته می‌شود:

$$M_n \ddot{Y}_n(t) + \omega_n^2 M_n Y_n(t) = -V_n(t) - P_n(t) \quad (3)$$

$n = 1, 2, 3, \dots, \infty$

که در آن:

$$M_n = \int_0^h m(x) [\phi_n(x)]^2 dx \quad (4)$$

بار عمومی ناشی از لرزش زمین،  $V_n$ ، طبق رابطه زیر بدست می‌آید:

$$V_n(t) = \int_0^h m(z) \ddot{u}_g(t) \phi_n(z) dz \quad (5)$$

و بار عمومی ناشی از تأثیر فشار هیدرودینامیک روی سد:

$$P_n(t) = \int_0^h p(x=0, z, t) \phi_n(z) dz \quad (6)$$

که  $\omega_n$  فرکانس طبیعی سازه بدون مخزن در مود  $n$  ام می‌باشد.

فشار هیدرودینامیک در حوزه سیال در سیستم سد و مخزن از معادله فشار موج پیروی می‌کند:

$$\nabla^2 P(x, z, t) = \frac{1}{c^2} \ddot{P}(x, z, t) \quad (7)$$

در رابطه فوق  $c$  سرعت انتشار صوت در سیال بوده و پارامتر  $p$  فشار هیدرودینامیک موجود در حوزه سیال می‌باشد.

### شرط مرزی و اولیه

در ناحیه تماسی سازه و سیال:

$$\left. \frac{\partial p}{\partial x} \right|_{x=0} = -\rho \left[ \ddot{u}_g(t) + \sum_{n=1}^N \phi_n(z) \ddot{Y}_n(t) \right] \quad (8)$$

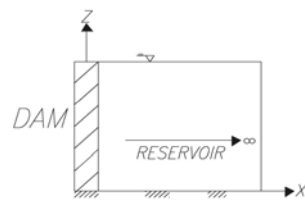
هیدرودینامیک برای سدهای صلب با دیواره بالادست مایل با زاویه ثابت و با صرفنظر از تراکم پذیری سیال توسط Chwang ارائه گردید [۹]. Mei در سال ۱۹۷۹ یک روش دقیق برای اندرکنش سیال و سازه در حوزه فرکانس به دست آورد [۱۰] و بالاخره در سال ۱۹۸۶ Liu روش Chwang را توسعه داده تا یک روش دقیق برای سدهای صلب و با سطح شبیدار و مخزن مثلثی، دست پیدا نمود [۱۱].

برای تحلیل دو بعدی و سه بعدی در دامنه زمان Lee و Tsai یک روش نیمه تحلیلی برای بیان شرایط انتشار در ناحیه دور در حوزه سیال ارائه کردند [۱۳] و [۱۲]. هم چنین یک روش دقیق تحلیلی برای سدهای صلب با دیواره قائم که تحت نیروهای زلزله قرار می‌گیرند، پیشنهاد داده و توانستند روشی نیمه تحلیلی در دامنه زمان برای حل مسئله اندرکنش سد و مخزن ارائه نمایند [۱۴]. در این روش سد به صورت یک تیر اویلر- برنولی طریق ای با مقطع ثابت در نظر گرفته شده است.

در مقاله حاضر ابتدا فرمولاسیون ارائه شده توسط Lee و Tsai [۱۴] برای مسئله اندرکنش به منظور مقایسه با روش DSC، ارائه می‌شود. سپس روش DSC و نحوه مدل سازی شرایط مرزی در آن تشریح می‌گردد. در ادامه، مسئله اندرکنش با فرضیات مشابه روش Lee & Tsai، به وسیله DSC و با انتخاب سه دسته مختلف از پارامترهای مؤثر بر این روش، تحلیل و پاسخ تغییر مکان تاج سد و نیز فشار هیدرودینامیک در حالت مخزن پر و تحت اثر زلزله ال- سنترو، به دست آمده و نتایج حاصل با موارد مشابه در روش Lee و Tsai مقایسه می‌شود، تا میزان تأثیر پارامترهای DSC بر دقت و پایداری جواب‌ها بررسی شود.

### فرمولاسیون Lee & Tsai

معادله حرکت انعطاف پذیر سد در اثر شتاب زمین ناشی از زلزله و فشار هیدرودینامیک ناشی از تأثیر مخزن (شکل ۱) به صورت رابطه زیر (۱) نوشته می‌شود [۱۴]:



شکل ۱: سیستم سد انعطاف پذیر و مخزن پر نیمه بی‌نهایت، تحت اثر ارتعاش زمین با شتاب  $g$ .

$$\begin{bmatrix} m_{11} & m_{12} & \dots & m_{1N} \\ m_{21} & m_{22} & \dots & m_{2N} \\ \vdots & \vdots & \ddots & \vdots \\ m_{N1} & m_{N2} & \dots & m_{NN} \end{bmatrix} \begin{Bmatrix} \dot{Y}_1(t) \\ Y_1(t) \\ \vdots \\ \dot{Y}_N(t) \end{Bmatrix} +$$

$$\begin{bmatrix} K_{11} & 0 & \dots & 0 \\ 0 & K_{22} & \dots & 0 \\ \vdots & 0 & \ddots & 0 \\ 0 & \dots & 0 & K_{NN} \end{bmatrix} \begin{Bmatrix} Y_1(t) \\ Y_2(t) \\ \vdots \\ Y_N(t) \end{Bmatrix} = \begin{Bmatrix} L_1(t) \\ L_2(t) \\ \vdots \\ L_N(t) \end{Bmatrix} \quad (16)$$

که در رابطه فوق خواهیم داشت:

$$m_{ij} = \begin{cases} W_{ij} & i \neq j \\ W_{ij} + M_i & i = j \end{cases} \quad (17)$$

$$K_{ii} = \omega_i^2 M_i \quad (18)$$

$$L_i(t) = -V_i(t) - P'_i(t) - F_i(t) \quad (19)$$

## معرفی روش انتگرال حلقوی منفرد مجزا (DSC)

DSC یک روش عمومی برای حل عددی کانون‌لشون منفرد می‌باشد. با به کارگیری و اختصاص دادن یا تقریب ساختار یک هسته منفرد، DSC می‌تواند یک الگوریتم کاملاً مؤثر، با دقت و قابل اعتماد برای کاربردهای مختلف باشد [۲]. از آن جا که پایه و مبنای این روش تئوری پخش می‌باشد، لذا تابع  $T$  را به عنوان تابع توزیع (پخش) در نظر گرفته و  $(x)$  یک المان از فضای تابع آزمون خواهد بود. در این صورت انتگرال حلقوی منفرد به صورت زیر تعریف می‌شود:

$$F(t) = \int_{-\infty}^{+\infty} T(t-x) \eta(x) dx \quad (20)$$

در این رابطه  $T(t-x)$  یک هسته منفرد بوده و بر اساس شکل و اجزای هسته  $T$ ، انتگرال حلقوی منفرد ( $F(t)$ ) یک توزیع مرکزی برای بسیاری از مسائل علمی و مهندسی می‌باشد. انواع هسته‌های منفرد که در مسائل مختلف کاربرد دارند، هسته‌های هیلبرت و هسته‌های نوع دلتا می‌باشند که نوع هیلبرت بیشتر در مسائل انتشار امواج، پرتو-نگاری و ... کاربرد داشته‌اند این که نوع دلتا در حل عددی معادلات دیفرانسیل کاربرد فراوانی دارد و

شکل عمومی آن‌ها به صورت زیر می‌باشد:

$$T(x) = \delta^{(n)}(x) \quad (n = 0, 1, 2, \dots) \quad (22)$$

به علت تکینگی هسته‌ها و غیر قابل محاسبه بودن آنها با رایانه و توزیع مستقیم هسته‌ها، یک تقریب  $T_a$  برای تابع توزیع  $T$  مورد استفاده قرار می‌گیرد:

در کف مخزن:

$$\left. \frac{\partial p}{\partial z} \right|_{z=0} = 0 \quad (9)$$

در سطح آزاد مخزن:

با صرفنظر از امواج سطحی داریم:

$$p|_{z=h} = 0 \quad (10)$$

با فرض این که مخزن در زمان صفر در شرائط آزاد باشد، داریم:

$$p|_{t=0} = 0 \quad (11)$$

$$\left. \frac{\partial p}{\partial t} \right|_{t=0} = 0 \quad (12)$$

در این روش فرض شده است که امواج آب هنگام پخش شدن از سد تنها دور می‌شوند. توزیع فشار هیدرودینامیک به کمک حل معادله (۷) با اعمال شرائط مرزی فوق و تبدیلات لاپلاس به دست می‌آید. جمله مربوط به آن به دو جزء مربوط به حرکت جسم صلب سد و تغییر مکان سد تجزیه شده و به صورت زیر نوشته می‌شود [۱۴]:

$$p_n(t) = p_n^r(t) + p_n^f(t) \quad (13)$$

$$p_n^r(t) = \frac{4\rho c}{\pi} \sum_{k=1}^{\infty} \frac{(-1)^{k+1}}{(2k-1)} Q_{nk} \int_0^t \ddot{u}_g(\tau) J_0[\lambda_k c(t-\tau)] d\tau$$

$$P_n^f(t) = \frac{2\rho c}{h} \sum_{k=1}^{\infty} \sum_{n=1}^N Q_{nk} Q_{mk} \int_0^t \ddot{Y}_m(\tau) J_0[\lambda_k c(t-\tau)] d\tau \quad (14)$$

با فرض تغییرات خطی شتاب زمین در دو گام زمانی متوالی و با فرض شتاب میانگین ثابت برای سازه در نهایت معادله زیر حاصل می‌شود:

$$M_n \ddot{Y}_n(t) + \omega_n^2 M_n Y_n(t) = -V_n(t) - \quad (15)$$

$$P_n^r(t) - F_n(t) - \sum_{m=1}^N W_{mn} \ddot{Y}_n(t).$$

اگر قسمت  $\sum_{m=1}^N W_{mn} \ddot{Y}_n(t)$  از طرف راست رابطه بالا به طرف چپ منتقل شده و با قسمت  $M_n \ddot{Y}_n(t)$  جمع شود، رابطه ماتریسی تحلیل اندرکنش سد و مخزن به شکل رابطه زیر حاصل می‌شود:

شرط  $R_\sigma(0)=1$ ، یکی از نیازهای اختصاصی برای نظم دهنده از نوع دلتا می‌باشد. یک تنظیم کننده عمومی و تیپ که در این مقاله و تحقیقات دیگر [۴ و ۵] مورد استفاده قرار می‌گیرد،  $R_\sigma(x) = \exp(-\frac{x^2}{2\sigma^2})$  می‌باشد. این تنظیم کننده، یک تابع از کلاس Schwartz بوده و با استفاده از آن هسته دلتای شانون به صورت زیر خواهد بود:

$$\frac{\sin\left(\frac{\pi}{\Delta}(x - x_k)\right)}{\left(\frac{\pi}{\Delta}(x - x_k)\right)} \rightarrow \frac{\sin\left(\frac{\pi}{\Delta}(x - x_k)\right)}{\left(\frac{\pi}{\Delta}(x - x_k)\right)} e^{-((x - x_k)^2 / 2\sigma^2)} \quad (30)$$

این تنظیم کننده سبب می‌شود که هسته شانون، قابلیت توزیع ملایم‌تری داشته و از نظر عددی برای استفاده در روش محلی برای حل معادلات دیفرانسیل با مشتقهای جزئی، عملکرد بسیار مناسبی نشان دهد. به منظور تقریب زدن مشتقهای یک تابع نسبت به متغیرهای فضایی در یک نقطه مجزای مشخص، DSC معمولاً از یک ترکیب خطی وزن دار از مقادیر تابع در  $M+1$  نقطه ( $M$  نقطه در سمت چپ و  $M$  نقطه در سمت راست نقطه مورد نظر) در جهت متغیرهای فضایی استفاده می‌کند، که  $M$  نیمه عرض نوار محاسباتی می‌باشد.  $m$  امین مشتق تابع در  $i$  امین نقطه به صورت زیر خواهد بود:

$$f^{(m)}(x_i) \approx \sum_{k=-M}^M C_k^{(m)}. f(x_i + k) \quad i = 0, 1, \dots, N-1 \quad (31)$$

که در آن  $m$  امین مشتق هسته دلتای شانون تنظیم شده در نقطه  $k$  و  $N$  تعداد کل نقاط شبکه در دامنه محاسباتی می‌باشد. با نوشتند رابطه فوق به صورت ماتریسی، بخش دیفرانسیلی ماتریس فوق به صورت زیر تعریف می‌شود:

$$[D_q^{(m)}]_{i,j} = \begin{cases} C_{j-i}^{(m)} & \text{if } -M < j - i < M \\ 0 & \text{otherwise} \end{cases} \quad (32)$$

برای  $D_q^{(m)}$   $j = -M, \dots, N-1+M$ ،  $i = 0, \dots, N-1$  یک ماتریس دیفرانسیلی  $N \times (2M+N)$  است و  $q$  مرتبه جهت دیفرانسیل گیری بوده ( $q = x, y$ ) و  $m$  مرتبه مشتق گیری است. توسعه و گسترش به ابعاد بالاتر (دو بعد) می‌تواند به صورت محصولات تنسوری تحقق یابد. مقدار  $C_k^{(m)}$  به صورت تحلیلی قابل محاسبه بوده که تا مشتقهای مرتبه چهارم آن به دست آمده است، به عنوان

$$\lim_{\alpha \rightarrow \alpha_0} T_\alpha(x) \rightarrow T(x) \quad (23)$$

که در آن  $\alpha_0$  یک حد عمومی می‌باشد. به منظور حل معادلات دیفرانسیل در مسائل مهندسی، که موضوع تحقیق حاضر می‌باشد، پس از بررسی‌های فراوان، هسته‌های نوع دلتای دیراک به عنوان هسته‌های DSC انتخاب شده‌اند. بنابراین اگر  $T_a(x) = \delta(x)$  باشد،  $T_a(x) = \delta(x)$  نیز از نوع دلتا بوده و خواهیم داشت:

$$F_\alpha(t) = \sum_k T(t - x_k) f(x_k) \quad (24)$$

$\{x_k\}$  یک مجموعه مناسب از نقاط مجزای شبکه است که این تقریب بر روی آنها تعریف می‌شود و  $F_\alpha(t)$  یک تقریب برای  $F(t)$  می‌باشد. نمونه مختلف هسته دلتا که در مسائل مختلف کاربرد دارند، در ادامه معرفی می‌شوند:

### ۱. هسته‌های نوع دلتای شانون:

$$\lim_{\alpha \rightarrow \infty} \frac{\sin \alpha x}{\pi x}, \eta(x) = \eta(0) \quad (25)$$

هسته‌های نوع دلتای دیراکله:

$$\frac{\sin[(1 + 1/2)(x - x')]}{2\pi \sin[\frac{1}{2}(x - x')]} \quad (26)$$

نتایج بررسی بر روی معادلات به کار رفته در مسائل مهندسی و موضوعات مورد تحقیق این مقاله نشان می‌دهد که استفاده از هسته دلتای شانون<sup>۴</sup> با اعمال تغییراتی، نتایج بسیار مطلوبی را به دست می‌دهد. با استفاده از الگوریتم نمونه‌گیری درون یابی در فرکانس Nyquist یعنی  $\alpha = \frac{\pi}{\Delta}$ ، هسته دلتای شانون به صورت زیر خواهد بود:

$$\frac{\sin[\alpha(x - x')]}{\pi(x - x')} \rightarrow \frac{\sin \frac{\pi}{\Delta}(x - x_k)}{\frac{\pi}{\Delta}(x - x_k)} \quad (27)$$

اهمیت تئوری نمونه‌گیری شانون این است که با جداسازی و شبکه بندی مجموعه نامحدودی از مقادیر  $\{f(x_k)\}$ ، می‌توان یک تابع  $L^2$  (نوار محدود) را روی یک خط افقی پوشش داد. توالی و تناوب و نظم این هسته به کمک یک تنظیم کننده (Regulator)، ببود می‌یابد:

$$\lim_{\sigma \rightarrow \infty} R_\sigma = 1 \quad (28)$$

برای تناوب دلتا، بر اساس رابطه (۲۳)، خواهیم داشت:

$$\int \lim_{\alpha \rightarrow \alpha_0} T_\alpha(x) R_\sigma(x) dx = R_\sigma(0) = 1 \quad (29)$$

با انتخاب  $a_i = 1$  برای  $i=1,2,\dots,M$ ، معادلات مربوط به این شرط مرزی ارضا می شوند.

**نحوه اعمال شرائط مرزی معادل لبه آزاد**  
برای تکیه گاه لبه آزاد، شرایط مرزی معادل  $f''(x) = 0$  و  $f''(x) = 0$  خواهد بود. برای شرط مرزی سرآزاد از یک روش مرز تطبیق یافته تکرار شونده استفاده می شود. در این روش به صورت پی در پی از شرط مرزی داده شده استفاده گردیده، تا یک تعداد به اندازه کافی زیاد از نقاط جعلی ایجاد شده تا یک هسته یکسان انتقالی DSC بتواند بطور صحیح نزدیک لبه آزاد اجرا شود. این روش (IMB)<sup>(۳)</sup> از یک الگوی مشابه با نام روش سطح مشترک تطبیق یافته تکراری که اخیراً توسعه یافته [۱۵] الگو برداری می کند. روش IMB، یک دامنه ساختگی (جعلی) خارج از مرزها را در نظر می گیرد و شرائط مرزی را در امتداد مرز برقرار می سازد. در شکل (۲) این روند به وضوح نشان داده می شود. در مرحله اول از آنجا که دو شرط مرزی در دسترس است، فقط دو نقطه جعلی تعیین گردند. به منظور دستیابی به درجات بالای دقت برای شرایط مرزی، تقریب تفاضلات محدود (FD) یک طرفه به کار گرفته می شود که شامل ضرائب روی L نقطه شبکه روی وجه داخلی مرز می باشد. بنابراین شرط مرزی بوسیله روش تفاضلات محدود یک طرفه (L+3) نقطه ای) تقریب زده می شود.

$$(38) \quad W_1^{(k)} f_2 + W_2^{(k)} f_1 + \sum_{i=3}^{L+3} W_i^{(k)} g_{i-2} = 0$$

با بازنویسی رابطه (۳۸) برای هردو رابطه شرط مرزی لبه آزاد  $f'''(x) = 0$  و  $f''(x) = 0$  به کمک روش فوق، برای مشتق مرتبه دوم و مشتق مرتبه سوم داریم:

$$(39) \quad \begin{cases} W_1^{(2)} f_2 + W_2^{(2)} f_1 + \sum_{i=3}^{L+3} W_i^{(2)} g_{i-2} = 0 \\ W_1^{(3)} f_2 + W_2^{(3)} f_1 + \sum_{i=3}^{L+3} W_i^{(3)} g_{i-2} = 0 \end{cases}$$

ضرایب  $W_i^{(k)}$  برای  $i=1,2,\dots,L+3$  و  $k=2,3$  وزنهای روش تفاضلات محدود یک طرفه میباشند.  $f_1$  و  $f_2$  مقادیر نامعلومتابع روی نقاط جعلی و  $g_i$  برای  $i=1,2,\dots,L+1$  مقادیر معلومتابع روی سمت راست مرز می باشند. با حل دستگاه (۳۹) مقادیر  $f_1$  و  $f_2$ ، بر حسب مقادیر معلوم داخل مرز تعیین می شوند. حال با جایی مرز واعمال کردن شرط مرزی در نقطه  $f_2$ ، مقادیر

مثال برای حالت  $x_k \neq x$  و با فرض هسته دلتای شانون تنظیم شده داریم:

$$\delta_{\frac{\pi}{\Delta}, \sigma}^{(1)}(x_m - x_k) = \frac{\cos \frac{\pi}{\Delta}(x - x_k)}{(x - x_k)} \times \exp \left( \frac{-(x - x_k)^2}{2\sigma^2} \right) - \frac{\sin \frac{\pi}{\Delta}(x - x_k)}{\frac{\pi}{\Delta}(x - x_k)^2} \times \exp \left( \frac{-(x - x_k)^2}{2\sigma^2} \right) - \frac{\sin \frac{\pi}{\Delta}(x - x_k)}{\frac{\pi}{\Delta}\sigma^2} \exp \left( \frac{-(x - x_k)^2}{2\sigma^2} \right) \quad (33)$$

### نحوه اعمال شرائط مرزی معادل تکیه گاه ساده و گیردار

در زمینه مدل سازی شرایط مرزی تحقیقات گسترده ای انجام گرفته است. در واقع یک الگوی عددی کامل باید روشی برای مدل کردن شرایط مرزی داشته باشد. برای شرایط مرزی معادل تکیه گاه ساده و گیردار، استفاده ازتابع یک بعدی مفروض  $f(x)$  به همراه فرض رابطه ای مشخص و سپس افزودن الگوریتم DSC بر آن، می تواند زمینه مدل سازی آنها را فراهم آورد. مثلاً در مرز چپ رابطه بین نقاط جعلی (خارج از دامنه) و نقاط درونی (داخل دامنه)، به صورت زیر فرض می شود [۲]:

$$(34) \quad f(x_{-i}) - f(x_0) = a_i [f(x_i) - f(x_0)] \quad i=1,\dots,M$$

که در آن  $x_0$  نقطه مرز چپ می باشد و با استفاده از تقریب DSC برای اولین و دومین مشتقات تابع  $f(x)$  به صورت زیر و استفاده از یک سری تکنیک های خاص، شرایط مرزی ساده و گیردار به صورت زیر مدل سازی می شوند:

$$(35) \quad f(x_{-i}) = a_i f(x_i) + (1 - a_i) f(x_0)$$

$$(36) \quad f'(x_0) = \sum_{i=-M}^M C_i^1 f(x_i) = \left[ C_0^1 - \sum_{i=1}^M (1 - a_i) C_i^1 \right] f(x_0) + \sum_{i=1}^M (1 - a_i) C_i^1 f(x_i)$$

$$(37) \quad f''(x_0) = \sum_{i=-M}^M C_i^2 f(x_i) = \left[ C_0^2 + \sum_{i=1}^M (1 - a_i) C_i^2 \right] f(x_0) + \sum_{i=1}^M (1 + a_i) C_i^2 f(x_i)$$

برای تکیه گاه ساده، شرایط مرزی معادل  $f(x_0)=0$  و  $f''(x_0)=0$  خواهد بود. با استفاده از یک تکنیک محاسباتی، مشخص می شود که با انتخاب  $a_i = -1$  برای  $i=1,2,\dots,M$ ، معادلات مربوط به این شرط مرزی ارضا می شوند. در واقع شرایط مرزی ساده با بسط غیر متقارن مدل شده اند. برای تکیه گاه گیردار مشخص می گردد که

$$\frac{\partial^4 u}{\partial z^4} = \left. \frac{\partial^4 u(z, t)}{\partial z^4} \right|_{z=i} = \sum_{k=-M}^M \delta_{\frac{\pi}{\Delta}, \sigma}^{(4)} (z_i - z_k) u_{i+k}(z, t) \quad (40)$$

در واقع طول تیر (ارتفاع سد) به نحوی شبکه بنده می‌گردد که  $N$  نود ( نقطه ) روی سازه قرار گرفته و  $M$  نقطه جعلی ، به طور متقارن از هر مرز به سمت خارج دامنه و با فاصله یکسان نسبت به نقاط داخل دامنه، در نظر گرفته می‌شود. فاصله نقاط شبکه یکسان بوده و از رابطه زیر به دست می‌آید:

$$\Delta = \frac{(N-1)}{h} \quad (41)$$

با تقریب زدن مشتقات چهارم تابع  $u(z, t)$  نسبت به  $z$  در تمام نقاط شبکه ( $N$  نقطه) به وسیله رابطه (40) ماتریس ضرائب DSC حاصل می‌شود. درایه‌های این ماتریس، ضرائب  $\delta_{\frac{\pi}{\Delta}, \sigma}^{(4)} (z_i - z_k)$  می‌باشند که مشابه رابطه (33) به صورت تحلیلی محاسبه می‌شوند. این ماتریس مستطیلی بوده و دارای  $N$  سطر و  $(N+2M)$  ستون می‌باشد. با توجه به این که سازه سد به صورت یک تیر طره‌ای مدل شده است، دارای شرائط تکیه گاهی گیردار و سر آزاد در دو انتهای خود می‌باشد:

$$Z=0 : u(z, t)=0, \quad \frac{\partial u(z, t)}{\partial z}=0 \quad (42)$$

$$Z=h : \frac{\partial^2 u(z, t)}{\partial z^2}=0, \quad \frac{\partial^3 u(z, t)}{\partial z^3}=0 \quad (43)$$

برای مدل سازی شرط مرزی تکیه گاه گیردار بر اساس مطالب بخش قبل از بسط متقارن استفاده می‌شود، بنابراین در نقطه  $z=0$  خواهیم داشت:

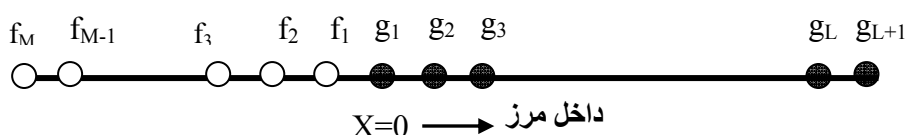
$$u_{-k}(z, t)=u_k(z, t), \quad k=1, 2, \dots, M \quad (44)$$

$f_1$  و  $f_2$  در داخل دامنه و جزء مقادیر معلوم قرار می‌گیرند. با ادامه این روند به تعداد مجھولات خارج از دامنه، معادله خواهیم داشت و روند تکراری فوق تحت عنوان روش IMI مورد استفاده قرار می‌گیرد. میزان دقت آن به طول  $L$  بستگی دارد که می‌تواند کوچکتر یا بزرگتر از  $M$  باشد. البته شرایط  $2 \leq L \leq 2M$  باید در تمامی روابط برقرار باشد.

## تحلیل اندرکنش سد و مخزن به وسیله DSC روش

در این بخش با توجه به فرضیات مشابه روش Lee و Tsai، سازه سد مانند گذشته به صورت یک تیر طره‌ای با مقطع ثابت در نظر گرفته می‌شود. سپس در معادله حرکت مربوطه، تابع و مشتقات آن نسبت به متغیرهای فضایی به کمک الگوریتم انتگرال حلقوی منفرد مجزا، تقریب زده می‌شود. معادلات فشار هیدرودینامیک مجدداً با رویکرد به روش DSC از ابتدا تعیین شده و تغییرات لازم اعمال می‌گردد. در حل مسئله اندرکنش سد - مخزن به کمک الگوریتم DSC معادله (1) به طور مستقیم مورد تحلیل قرار می‌گیرد.

به منظور تقریب مشتقات مرتبه چهارم تابع  $u(z, t)$  نسبت به متغیر مکانی  $z$  به کمک روش DSC، با توجه به مطالب مطرح شده در بخش ۳ مقاله و با استناد به این نکته که طی بررسی‌های انجام گرفته، هسته تنظیم شده دلتای شانون هماهنگی و سازگاری بیشتری با مسئله اندرکنش دارد، لذا از رابطه تقریب کانولوشن منفرد مجزا با هسته تنظیم شده دلتای شانون استفاده می‌شود و خواهیم داشت:



شکل ۲: مرز تطبیق یافته تکرار شونده.

که در آن  $[K]_{N \times N}$  ماتریس ضرائب DSC پس از اعمال شرایط مرزی و کاهش آن به ماتریس  $N \times N$  مربعی و ماتریس  $[m]_{N \times N}$  ماتریس جرم متمرکز در محل نقاط اصلی شبکه می باشد که یک ماتریس قطری بوده و به شکل زیر تعریف می شود:

$$[m]_{N \times N} = \begin{cases} m_{ii} = m \times \Delta & \text{for } i = 2, 3, \dots, N-1 \\ m_{ii} = m \times \frac{\Delta}{2} & \text{for } i = 1, N \end{cases} \quad (51)$$

که در آن  $m$  جرم واحد طول سازه می باشد. با توجه به رابطه (۴۹)، و با انتقال قسمت  $(z, t)$  از سمت چپ به سمت راست معادله (۵۰)، این معادله را در نهایت به شکل ماتریسی زیر می توان باز نویسی نمود:

$$\begin{aligned} & \left[ M_{11} \quad M_{12} \quad \dots \quad M_{1N} \right] \begin{Bmatrix} \ddot{u}(z_1, t) \\ \ddot{u}(z_2, t) \\ \vdots \\ \ddot{u}(z_N, t) \end{Bmatrix} + \\ & EI \times \begin{Bmatrix} K_{11} & K_{12} & \dots & K_{1N} \\ K_{21} & K_{22} & \dots & \vdots \\ \vdots & \dots & \ddots & \vdots \\ K_{N1} & \dots & \dots & K_{NN} \end{Bmatrix} \begin{Bmatrix} u(z_1, t) \\ u(z_2, t) \\ \vdots \\ u(z_N, t) \end{Bmatrix} = \begin{Bmatrix} L(z_1, t) \\ L(z_2, t) \\ \vdots \\ L(z_N, t) \end{Bmatrix} \end{aligned} \quad (52)$$

در رابطه ماتریسی فوق داریم:

$$L(z_i, t) = -[m_i]_{N \times N} \times [\ddot{u}_g(t)]_{N \times 1} - [P_k^r(z_i, t)]_{N \times 1} - [F_k(z_i, t)]_{N \times 1} \quad (53)$$

$$W_k(z, t) = \sum_{k=1}^{\infty} [P]_{N \times N} \times \ddot{u}(z, t) \quad (54)$$

$$[M]_{N \times N} = \sum_{k=1}^{\infty} [P]_{N \times N} + [m]_{N \times N} \quad (55)$$

بدین ترتیب معادله حاکم تغییر یافته به صورت فوق، از طریق روش نیومارک، مجزا سازی زمانی شده و پاسخ تغییر مکان سازه سد در هر نقطه و در هر گام زمانی محاسبه می شود. از آن جا که ماتریس های  $[K]_{N \times N}$  و  $[M]_{N \times N}$  در تمام گام های زمانی ثابت می باشند، لذا مسئله به طور کامل با شرایط روش حل نیومارک در مسائل خطی مطابقت دارد.

### مقایسه و بررسی نتایج

در این قسمت نتایج حاصل از اندرکنش سد و

در واقع می توان  $M$  معادله به فرم کلی  $u_{-k}(z, t) - u_k(z, t) = 0$ ،  $k = 1, 2, \dots, M$  معادله قبلی اضافه نمود. از آن جا که در محاسبات عددی همواره سعی می شود که با کاهش ابعاد یک ماتریس سرعت عملیات را افزایش دهنده، لذا با اعمال تکنیک های عددی، اعمال شرط مرزی گیردار سبب کاهش ابعاد ماتریس خواهد شد. برای سر آزاد نیز مطابق بخش قبل، با استفاده از روش IMB و کاربرد یک تکنیک عددی خاص، باز هم ابعاد ماتریس ضرائب کاهش یافته و در نهایت این ماتریس به یک ماتریس  $N \times N$  تبدیل می شود که با حل مسئله سازگاری ابعادی دارد. به منظور تعیین معادله فشار هیدرودینامیک در حوزه سیال با رویکرد به روش DSC، تمام فرضیات و شرایط مرزی و اولیه مطابق بخش قبل می باشد، فقط شرط مرزی در ناحیه تماسی سازه و سیال به صورت زیر نوشتہ می شود:

$$\frac{\partial p}{\partial x} \Big|_{x=0} = -\rho [\ddot{u}_g(t) + \ddot{u}(z, t)] \quad (45)$$

با اعمال تبدیل لاپلاس و روش جداسازی متغیرها و نیز برقراری شرایط مرزی، توزیع فشار هیدرودینامیک را با رویکرد به روش DSC، می توان به صورت زیر نوشت:

$$p(0, z, t) = p_k^r(z, t) + p_k^f(z, t) \quad (46)$$

$$p_k^r(z, t) = \frac{4\rho C}{\pi} \sum_{k=1}^{\infty} \frac{(-1)^{k+1}}{(2k-1)} \cos \lambda_k z \int_0^t \ddot{u}_g(\tau) J_0[\lambda_k C(t-\tau)] d\tau \quad (47)$$

$$p_k^f(z, t) = \frac{2\rho C}{h} \sum_{k=1}^{\infty} \cos \lambda_k z \left\{ \int_0^t \left[ \int_0^z \ddot{u}(z, \tau) \cos \lambda_k z dz \right] \times J_0[\lambda_k C(t-\tau)] d\tau \right\} \quad (48)$$

با فرض تغییرات خطی شتاب زمین در دو گام زمانی متوالی و با فرض شتاب میانگین ثابت برای سازه در نهایت معادله  $p_k^f(z, t)$  به شکل خلاصه زیر نوشتہ می شود:

$$p_k^f(z, t) = F_k(z, t) + W_k(z, t) \quad (49)$$

معادله حرکت سازه در اندرکنش سد و مخزن، را با توجه به الگوریتم DSC و در نظر گرفتن فرم ماتریسی، می توان به صورت معادله زیر نوشت:

$$\begin{aligned} & EI \times [K]_{N \times N} \times [u(z, t)]_{N \times 1} + [m]_{N \times N} [\ddot{u}(z, t)]_{N \times 1} = \\ & -[m]_{N \times N} \times [\ddot{u}_g(t)]_{N \times 1} - [P_k^r(z, t)]_{N \times 1} - [W_k(z, t)]_{N \times 1} \\ & - [F_k(z, t)]_{N \times 1} \end{aligned} \quad (50)$$

## نتیجه گیری

- از مقایسه نتایج و شکلها، این نتیجه حاصل می شود که مقادیر پاسخ تغییر مکان تاج سد و فشار هیدرودینامیک، به شدت متأثر از پارامترهای DSC می باشند، و انتخاب نادرست این پارامترها سبب غیر واقعی بودن جوابها و تنزل دقت آنها می گردد.
- افزایش  $N$ ، یعنی افزایش تعداد نقاط شبکه به طور کلی سبب کوچکتر شدن  $\Delta$  می شود و این امر سبب نمونه گیری مناسب تر هسته شده و دقت آن و در نتیجه دقت جوابها را افزایش می دهد. از طرفی افزایش  $N$  سبب افزایش زمان تحلیل و هزینه محاسباتی می گردد.
- افزایش پارامتر  $M$  تا یک حد معین به شدت بر جوابها و دقت آنها مؤثر است. پس از رسیدن مقدار  $M$  به این حد تجربی تأثیر آن بر جوابها کمتر شده، اما از دست نمی روید، در حالی که برای مقادیر کمتر از  $M$  بهینه دقت جوابها در بعضی موارد بسیار تنزل می کند. در مسئله مورد بحث معمولاً برای  $N=250$ ، مقادیر  $M$  بیش از ۵۰ اثر کمتری برافزایش دقت جوابها دارد.
- در مسئله مورد بحث، متناسب با اندازه شبکه یعنی  $\Delta$  و نیز مقدار  $M$  به منظور تنظیم هسته، یک پارامتر بهینه  $r$  وجود دارد که:  $r = \sigma \cdot \Delta$ . بر اساس بررسی های انجام شده با تحلیل های مختلف،  $r$  بهینه در این مسئله معمولاً عددی بین  $(4/1-5)$  به دست می آید.
- افزایش  $L$ ، همان طور که از مقایسه شکل های (۶) تا (۹) بهوضوح قابل مشاهده می باشد، سبب افزایش دقت روش IMB در مدل سازی شرط مرزی می شود. اما برای هر  $M$  نیز می توان  $L$  بهینه ای یافت که به ازای آن دقت مورد نظر حاصل شود.
- بررسی شکل های (۶) تا (۹)، نشان می دهند که عمدۀ خطای ایجاد شده در این روش، خطای ناشی از استفاده از روش های عددی انتگرال گیری در محاسبه فشار هیدرودینامیک با رویکرد به روش DSC، می باشد. این خطای به صورت تجمعی و با افزایش گام زمانی از دقت جوابها می کاهد و خطای ناشی از روش DSC در مقایسه با این خطای کوچکتر است. به همین دلیل تطابق جوابها در مورد جای جای نسبتاً مناسب ولی در مورد فشار هیدرودینامیک تطابق کمتری وجود دارد.

مخزن نیمه بی نهایت با فرض تراکم پذیری سیال و صرف نظر از امواج سطحی، بوسیله روش DSC ارائه می شود. سپس نتایج حاصله با نتایج و گراف های حاصل از روش Lee & Tsai مقایسه می شود. مطابق شکل (۳)، سیستمی شامل یک تیر منشوری با مقطع ثابت به ارتفاع ۱۸۰ متر و به ضخامت ۱۵ متر در نظر گرفته می شود، مدول الاستیسیته این تیر  $EI=3/5E7$  تن بر مترمربع و وزن مخصوص آن  $2/4$  تن بر مترمکعب می باشد. سرعت صوت در آب  $C=1438/656$  متر بر ثانیه در نظر گرفته شده است. جرم حجمی آب  $\rho = 1$  تن بر مترمکعب می باشد. سازه فوق در هر دو روش، تحت مؤلفه افقی شمالی - جنوبی زلزله ال سنترو (۱۹۴۰) و به مدت ۶ ثانیه، مورد تحلیل قرار می گیرد. در تحلیل Lee و Tsai و مود برای سازه و ۳۵ جمله اول حد مجموعها در نظر گرفته شده است. نتایج مربوط به روش Lee و Tsai در شکل های (۴) و (۵) ارائه گردیده است. در روش DSC به جهت مقایسه و بررسی میزان تأثیر پارامترها، سه حالت مختلف در تحلیل مدنظر قرار گرفته است:

حالات اول:

$$N = 100, M = 26, r = 3, L = 17$$

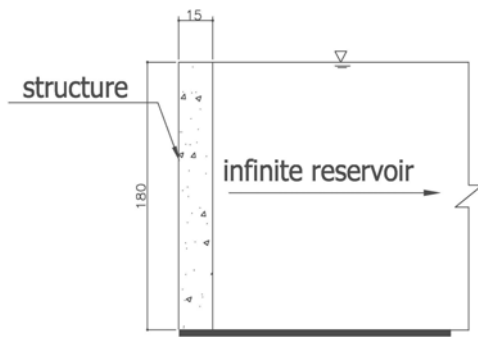
حالات دوم:

$$N = 150, M = 36, r = 4, L = 27$$

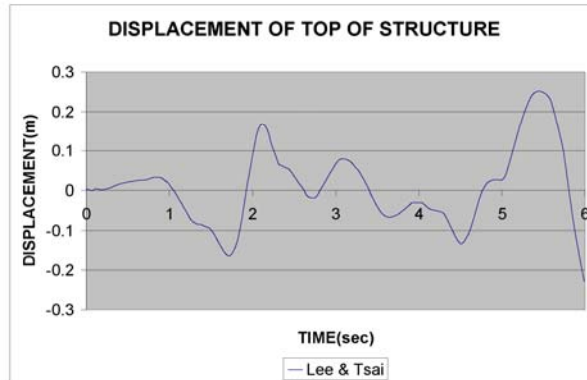
حالات سوم:

$$N = 250, M = 56, r = 4.2, L = 41$$

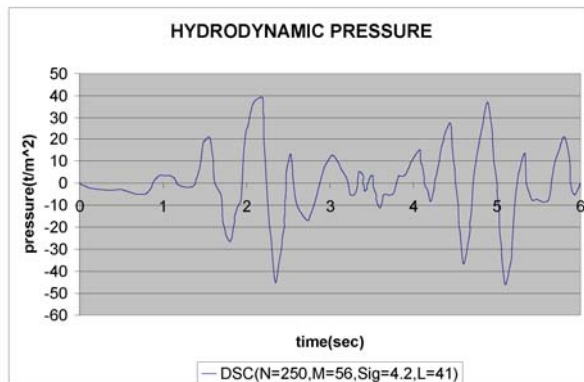
لازم به یادآوری است که پارامتر  $N$  تعداد نقاط شبکه اصلی،  $M$  تعداد نقاط جعلی،  $r = \sigma \cdot \Delta$  تنظیم کننده و  $L$  تعداد نقاط داخل دامنه می باشد که در مدل سازی لبه آزاد به کار گرفته می شود. تغییر مکان تاج سد در هر سه حالت تحت اثر زلزله ال سنترو، به دست آمده است (شکل ۶ تا ۸). نتایج هر سه حالت با مقدار تغییر مکان حاصل از روش Lee و Tsai مقایسه شده و بهترین و دقیق ترین جواب ممکن و پارامترهای نظری آن تعیین می شوند (شکل ۹). در شکل (۱۰)، بهترین جواب به دست آمده برای روش DSC در حالت سوم با روش Lee و Tsai مقایسه شده است. سپس برای این پارامترها فشار هیدرودینامیک در کف مخزن به دست آمده و با فشار نظری آن در روش Lee و Tsai مقایسه می گردد (شکل های ۱۱ و ۱۲).



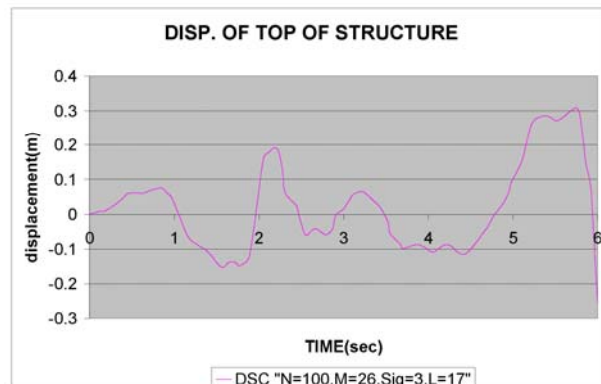
شکل ۳: سیستم سد - مخزن مورد مطالعه.



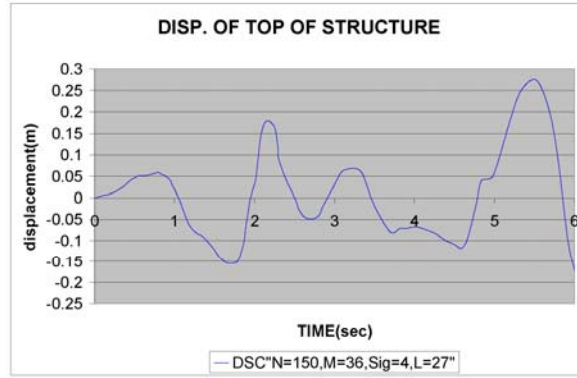
شکل ۴: تغییر مکان تاج سد (بر حسب متر) در حالت مخزن پر، تحت زلزله ال سنترو به روش Lee & Tsai بر حسب زمان.



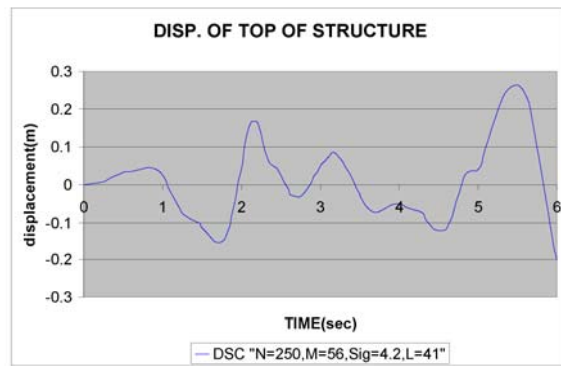
شکل ۵: فشار هیدرودینامیک در کف مخزن (تن بر متر مربع) بر اساس روش Lee & Tsai



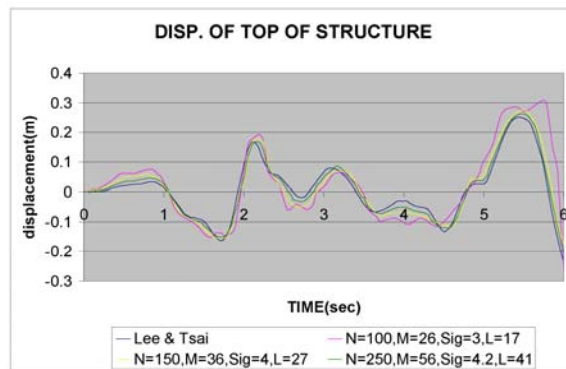
شکل ۶: تغییر مکان تاج سد (بر حسب متر) در حالت مخزن پر بر اساس روش DSC  
( $N = 100, M = 26, r = 3, L = 17$ )



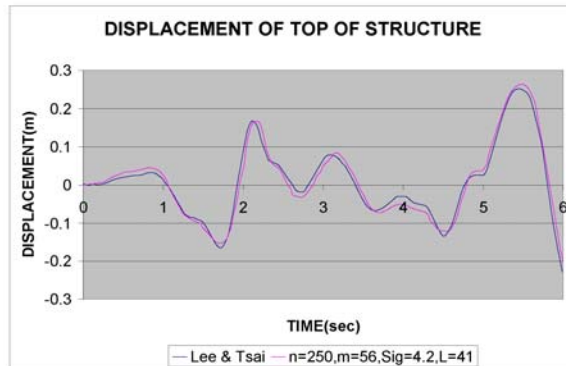
شکل ۷: تغییر مکان تاج سد (بر حسب متر) در حالت مخزن پر بر اساس روش DSC  
( $N = 150$ ,  $M = 36$ ,  $r = 4$ ,  $L = 27$ ) پارامترها



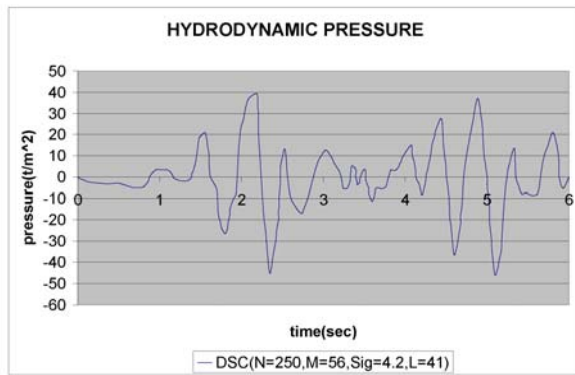
شکل ۸: تغییر مکان تاج سد (بر حسب متر) در حالت مخزن پر بر اساس روش DSC  
( $N = 250$ ,  $M = 56$ ,  $r = 4.2$ ,  $L = 41$ ) پارامترها



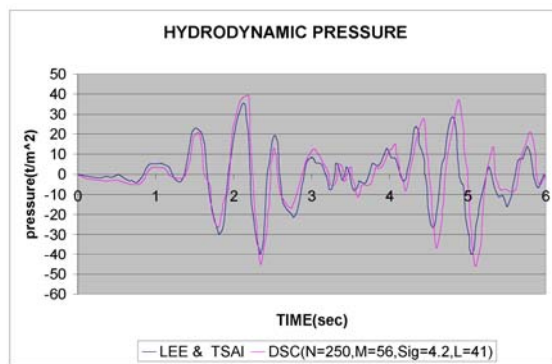
شکل ۹: مقایسه تغییر مکان تاج سد (بر حسب متر) با مخزن پر در هر سه حالت روش DSC با روش Lee & Tsai



شکل ۱۰: مقایسه تغییر مکان تاج سد (بر حسب متر) با مخزن پر به کمک DSC در حالت Lee & Tsai با روش  $N = 250$ ,  $M = 56$ ,  $r = 4.2$ ,  $L = 41$



شکل ۱۱: فشار هیدرودینامیک (بر حسب تن بر متر مربع) در کف مخزن بر اساس روش DSC  
( $N = 250$ ,  $M = 56$ ,  $r = 4.2$ ,  $L = 41$ )



شکل ۱۲: مقایسه فشار هیدرودینامیک در کف (بر حسب تن بر متر مربع) مخزن بر اساس روش DSC در حالت Lee & Tsai با روش  $N = 250$ ,  $M = 56$ ,  $r = 4.2$ ,  $L = 41$

## مراجع

- 1 - Wei, G. W. (2000). "Solving quantum eigenvalue problems by discrete singular convolution." *J. Phys.* Vol. B33, PP. 343-352
- 2 - Wei, G. W. (2001). "A new algorithm for solving some mechanical problems." *Comput. Methods Appl. Mech. Engrg.* Vol. 190, PP. 2017-2030.
- 3 - Wan, D. C. and Wei, G. W. (2002). "Discrete singular convolution-finite subdomain method for the solution of incompressible viscous flows." *J. Comput.Phys.* Vol. 180, PP. 229-255.
- 4 - Wei, G. W. (2001). "Vibration analysis by discrete singular convolution." *J. Sound Vibration*, Vol. 244, PP. 535-553.
- 5 - Wei, G. W. (1998). "Quasi wavelets and quasi interpolating wavelets." *Chem. Phys. Lett.*, Vol. 296, PP. 215-222.
- 6 - Wei, G. W., Zhang, D. S., Kouri, D. G. and Hoffman, D. K. (1997). "Lagrange distributed approximating functionals." *Phys. Rev. Lett.*, Vol. 79, PP. 775-77.
- 7 - Westergaard, H. M. (1933). "Water pressures on dams during earthquakes." ASCE. Vol. 98, PP. 418-433
- 8 - Chopra, A .K. (1967). "Hydrodynamic pressures on dams during earthquakes." *Journal of engineering Mechanics*, ASCE, Vol. 93, No. 6, PP. 205-223.
- 9 - Chwang, A. T. (1978). "Hydrodynamic pressures on sloping dam during earthquake. Part2.Exact theory." *Journal of Fluid Mechanics*, Vol. 87, PP. 343-348.

- 10 - Mei, C. C., Foda, M. A. and Tong, P. (1979). "Exact and hybrid –element solution for the vibration of a thin elastic structure seated on the sea floor." *Appl. Ocean Res.*, Vol. 1, No. 2, PP. 79-88.
- 11 - Liu, P. L. F (1986). "Hydrodynamic pressures on rigid dams during earthquake." *J. Fluid Mech.*, Vol. 165, PP. 131-145.
- 12 - Tsai, C. S., and Lee, G. C. (1990). "Method for the transient analysis of three-dimensional dam-reservoir interactions." *Journal of Engineering Mechanics, ASCE*, Vol. 116, No. 10, PP. 2151-2172.
- 13 - Tsai, C. S., Lee, G. C. and Ketter, R. L. (1990a). "A semi-analytical method for time-domain analysis of dam-reservoir interaction ." *International J. for Numerical Methods in Engineering*, Vol. 29, No. 5, PP. 913-933.
- 14 - Lee, G. S. and Tsai, C. S. (1991). "Time-domain analysis of dam-reservoir system part 1; exact solution." *Journal of Engineering Mechanics, ASCE*, Vol. 117, No. 9, PP. 1990-2006.
- 15 - Zhao, S., Wei, G. W. and Xiang, Y. (2005). "DSC analysis of free-edged beams by an iteratively matched boundary method." (*Short Communication*). *Journal of Sound and Vibration*, Vol. 284, PP. 487-493.

### واژه های انگلیسی به ترتیب استفاده در متن

- 1 - Discrete Singular Convolution
- 2 - Wavelet theory
- 3 - Distribution Theory
- 4 - Shannon Kernel
- 5 - Iteratively Matched Boundary
- 6 - Fictitious Point